

Mostramos algunos ejemplos de códigos y planteamos ejercicios computacionales. No usar tildes en los comentarios de los códigos.

## Ortogonalización QR y Factorización SVD

### Factorización SVD

Vamos a ilustrar como se puede usar SVD para aproximar una matriz.

Sean  $A = rand(n, n)$ , usar  $[U, S, V] = svd(A)$ . Comparando los valores singulares, eliminar aquellos que sean pequeños con respecto a los demás usando la asignación  $S(j, j) = 0$  para  $j > r$ . Esto significa que se pueden descartar las filas y columnas  $j > r$  de  $S$ . Entonces también se pueden descartar las columnas  $j > r$  de  $U$  y de  $V$ . Esto se hace usando  $U = U(1 : n, 1 : r)$  y  $V = V(1 : n, 1 : r)$  junto con  $S = S(1 : r, 1 : r)$ . El cálculo  $B = U * S * V^H$  tiene que ser una aproximación cercana a  $A$ .

Se puede ver el error relativo en cada entrada de  $B$  usando la orden

$$(A - B) ./ A$$

ya que se divide cada entrada de  $A - B$  por la correspondiente de  $A$ . Como se puede ver, los errores relativos son pequeños y almacenar  $A$  necesita  $n^2$  entradas mientras que  $B$  solo necesita las entradas correspondientes a  $U, V$  y la diagonal de  $S$ .

```
clear all;
n=15;
A=hilb(n);
[U,S,V]=svd(A);
for r=1:n
    Ua=U(1:n,1:r);
    Va=V(1:n,1:r);
    Sa=S(1:r,1:r);
    B=Ua*Sa*Va';
    E=(B-A) ./ A;
    e=norm(E,inf);
    disp([" r= ",num2str(r)," max error relativo= ",num2str(e)])
end
```

Con el siguiente ejemplo se puede ver como la descomposición SVD da idea de la redondez de la matriz  $A$ :

```
clear all;
deg=1:5: 360;
circ = zeros(2, size(deg,2));
```

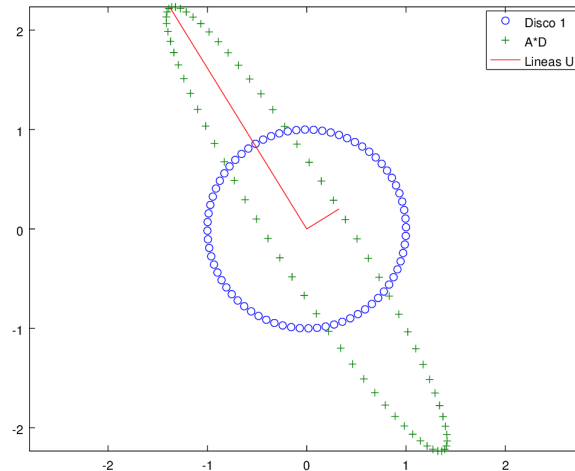


Figura 1: Transformación del disco unidad por una matriz  $A$ .

```
circ(1, :) = cos(deg * pi / 180);  
circ(2, :) = sin(deg * pi / 180);  
plot(circ(1,:), circ(2,:))  
A=[1,1;-1,-2];  
[U, S, V]=svd(A);  
Acirc = A*circ;  
Uline = [ U(:,1)*S(1,1) [ 0 0 ]' U(:,2)*S(2,2) ];  
figure;  
plot(circ(1, :), circ(2, :), 'o', ...  
      Acirc(1, :), Acirc(2, :), '+', ...  
      Uline(1, :), Uline(2, :), '-r');  
legend("Disco 1", "A*D", "Lineas U");  
axis equal;
```

Finalmente, experimentar con el código **testSVDimagenes.m** para observar como se pueden tratar las imágenes usando SVD. Para cada imagen de ejemplo visualizar en una escala semilogarítmica los valores singulares de la matriz asociada. Determinar visualmente y de forma aproximada el valor singular  $\sigma_k$  tal que todos los valores singulares previos representan aproximadamente el 10% de todos los valores singulares de  $A$ . Truncar las matrices a este nivel y observar el resultado.

## Ortogonalización usando QR

Consideramos la secuencia de Fibonacci  $n = 2, 3, 5, \dots, N_{total}$ . Tomamos  $M = 30$  matrices generadas por  $rand(n(i))$  en cada dimensión  $n(i)$  y calculamos su factorización

$QR$  con Gram-Schmidt clásico (GSC), Gram-Schmidt modificado (GSM) y Gram-Schmidt Householder (GSH). Vamos a medir la desviación de la ortogonalidad de cada matriz  $Q$ .

Sean  $a_1, a_2, \dots, a_n$  una familia de  $n$  vectores de  $\mathbb{R}^m$  y  $A$  la matriz  $m \times n$  cuyas columnas sean los vectores  $(a_j)_{1 \leq j \leq n}$ . En el siguiente código **gramschmidt.m** se realiza el proceso de Gram-Schmidt

```
function [Q,R] = gramschmidt(A)
    [m,n] = size(A);
    Q = A; R = zeros(n);
    for k = 1:n
        R(1:k-1,k) = Q(:,1:k-1)'*A(:,k);
        Q(:,k) = A(:,k) - Q(:,1:k-1)*R(1:k-1,k);
        R(k,k) = norm(Q(:,k));
        Q(:,k) = Q(:,k)/R(k,k);
    end
end
```

1. Usar el programa **gramschmidt.m** y comprobar este programa con la matriz  $A$  definida por

- $n = 5; u = 1:n; u = u'; c2 = \cos(2 * u); c = \cos(u); s = \sin(u);$

$$A = [u, c2, \text{ones}(n,1), \text{rand}() * c. * c, \exp(u), s. * s];$$

- $A = \text{hilb}(k)$  con  $k=6, 8$  y  $12$ ,
- matrices  $A = \text{rand}(\text{floor}(10 * \text{rand}(1)) + 1, \text{floor}(10 * \text{rand}(1)) + 1)$
- 

$$B = \begin{pmatrix} 1 & 3 & -5 & 2 & 8 & 2 \\ 5 & -2 & -1 & 8 & 1 & -3 \\ 4 & 3 & -16 & 23 & 19 & -4 \\ 9 & 2 & -1 & -1 & 7 & 4 \end{pmatrix}.$$

- $A = [1, 3, -5, 2, 8, 2; 5, -2, -1, 8, 1, -3; 4, 3, -16, 23, 19, -4; 9, 2, -1, -1, 7, 4]$

Denotamos por  $Q$  la matriz obtenida aplicando el proceso de ortonormalización.

- Calcular  $QQ'$  y  $Q'Q$ . Comentar el resultado
- Escribir la norma de  $A - QR$  y de  $Q' * Q - Id$ . Comentar el resultado
- Aplicar el algoritmo **GramSchmidt** a  $Q$
- Añade a  $A$  un vector columna con ruido:  $A = [A, 1000 * \text{eps} * \text{rand}(4,1)]$
- Analiza la identidades  $A^t A = R^t R$ .

## 2. Implementa una función

`solveQR(Q, R, b)`

para resolver sistemas lineales  $Ax = b$  conocida una factorización  $A = QR$  con  $Q$  una matriz ortogonal y  $R$  una matriz triangular superior.

La solución de  $Ax = b \iff QRx = b \iff Rx = Q^tb$ , se obtiene al resolver la última ecuación por el método ascendente. Comprueba su funcionamiento.

En este código **modgramschmidt.m** se usa el proceso de Gram-Schmidt modificado

```
function [Q,R] = modgramschmidt(A)
    [m,n] = size(A);
    Q = A; R=zeros(n);
    for k = 1:n
        R(k,k) = norm(Q(:,k));
        Q(:,k) = Q(:,k)/R(k,k);
        R(k,k+1:n) = Q(:,k)'*Q(:,k+1:n);
        Q(:,k+1:n) = Q(:,k+1:n) - Q(:,k)*R(k,k+1:n);
    end
```

En el siguiente código **testQRortogonalidad.m** se comparan los tres métodos en términos de su estabilidad al mantener la ortogonalidad de las columnas de la matriz  $Q$

```
tic;
clear all;
% Numero de puntos a tomar de la secuencia de Fibonacci
long= 12;
% Numero de matrices de muestra en cada dimension
% Creamos 30 matrices aleatorias con de talla n(i)xn(i) del numero
% de la sucesion n(i) y luego calculamos sus descomposiciones mediante
% varios metodos y obtenemos la desviacion correspondiente a cada metodo.
muestras=30;
n=1:long] % Creamos un array vacio que va a contener la sucesion de Fibonacci
n(1)=2; % Colocamos un 2 en la primera posicion del array
        % de Fibonacci (2) como el primero de la sucesion (2 3 5 8...)
n(2)=3; % Colocamos el siguiente numero de la sucesion seguidamente
% Mediante este bucle llenamos el array con mas numeros de la sucesion
% de Fibonacci hasta el numero que ocupa la posicion long
for i=3:long
    n(i) = n(i-1)+n(i-2); % Metodo recursivo
end
nrms1=zeros(muestras,long); % Almacena errores en cada dim para GSC
nrms2=zeros(muestras,long); % Almacena errores en cada dim para GSM
nrms3=zeros(muestras,long); % Almacena errores en cada dim para GSH
```

```
for i=1:long
disp([' Muestreando con matrices aleatorias talla n = ',num2str(n(i))])
for j=1:muestras
a = rand(n(i)); % crea una matriz con entradas aleatorias de dimension n(i)
[q1,r1]= gramschmidt(a); % QR clasico via GSC sobre la matriz a
[q2,r2]= modgramschmidt(a); % QR via GSM sobre la matriz a
[q3,r3]= Householdergramschmidt(a); % QR via GSH sobre la matriz a
nrms1(j,i) = norm(q1'*q1-eye(n(i)),inf); % desviacion de ortogonalidad
nrms2(j,i) = norm(q2'*q2-eye(n(i)),inf); % desviacion de ortogonalidad
nrms3(j,i) = norm(q3'*q3-eye(n(i)),inf); % desviacion de ortogonalidad
end
end

% Hacemos graficos de los resultados con ajuste lineal para cada metodo
figure(1);
subplot(1,3,1), % Parte izquierda
loglog(n,nrms1,'r.',n,n.^3/n(long)^3*mean(nrms1(:,long)),'b');
% Linea de orden  $O(n^3)$ 
title('GSC ortogonalidad desviacion ')
subplot(1,3,2), % Parte central
loglog(n,nrms2,'r.',n,n.^2/n(long)^2*mean(nrms2(:,long)),'b');
% Linea de orden  $O(n^2)$ 
title('GSM ortogonalidad desviacion')
subplot(1,3,3), % Parte derecha
loglog(n,nrms3,'r.',n,n.^(1.24)/n(long)^(1.24)*mean(nrms3(:,long)),'b');
title('GSH ortogonalidad desviacion')
% Con 1.24 en nrms3 se ve mejor ajuste de la recta. Orden simple ==1
% La precision se ve segun estan dispersos los puntos para cada valor

% Ahora calculamos los datos necesarios para obtener la figura 2
m=1:16;
nrms_1=[];
nrms_2=[];
nrms_3=[];
for i=1:16
h=hilb(i); % Generamos las matrices de Hilbert
[q1,r1]= gramschmidt(h); % QR clasico via GSC
[q2,r2]= modgramschmidt(h); % QR via GSM
[q3,r3]= Householdergramschmidt(h); % QR via GSH
nrms_1(i) = norm(q1'*q1-eye(i),inf); % desviacion de ortogonalidad
nrms_2(i) = norm(q2'*q2-eye(i),inf); % desviacion de ortogonalidad
nrms_3(i) = norm(q3'*q3-eye(i),inf); % desviacion de ortogonalidad
end
% En total tenemos 16 matrices de Hilbert de talla mxm donde m va desde 1 hasta 16
% Luego, horizontalmente necesitamos 16 puntos y para el eje de abscisas
% vemos la tendencia con escala logaritmica
```

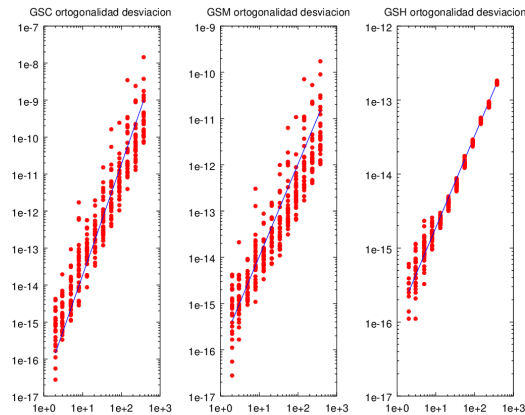


Figura 2: Para cada dimensión  $n = 2, 3, 5, \dots, F_{14}$  donde  $F_k$  es el número de Fibonacci, se calculan 30 matrices aleatorias por el método de Gram-Schmidt clásico (GSC), modificado (GSM) y Householder (GSH). La desviación de la ortogonalidad se calcula mediante el error  $\|Q^H Q - I\|_\infty$  y se muestra en una escala loglog con una línea  $O(n^3)$  como referencia para GSC y una línea  $O(n^2)$  para GSM. **Se debe completar la figura para GSH.** Siendo estas matrices benignas en principio se observa pérdida de ortogonalidad. Para  $n = 377$  hay ortogonalidad sólo en precisión simple, ya que el error es del orden de  $10^{-6}$

```
figure(2)
semilogy(m,nrms_1,'x',m,nrms_2,'d',m,nrms_3,'o');
xlim([0,17]);
toc;
```

Inspirándose en los códigos **gramschmidt.m** y **modgramschmidt.m** programar **Householdergramschmidt.m**. Obtener la gráfica de la Figura 2 y reproducir la gráfica de la Figura 3.

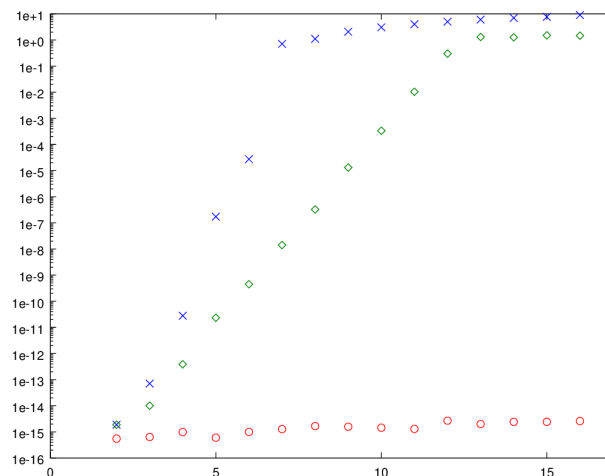


Figura 3: Comparación del método clásico de Gram-Schmidt (GSC) con cruces, del método modificado de Gram-Schmidt (CGM) con diamantes y de Householder (CGH) con círculos para obtener la factorización  $QR$ . Se obtiene  $\|Q^H Q - I\|_\infty$  para cada matriz  $H_n = QR$  donde  $H_n$  es la matriz de Hilbert  $n \times n$  y se usa un comando semilogy para obtener la gráfica.